



Investigating the Role of Natural and Human Factors on Intensification of Floods and Flooding in Kalat City

S. Attaran¹, A. Mosaedi^{2*}, H. Sojasi³

Received: 06-07-2022
Revised: 30-07-2022
Accepted: 04-09-2022
Available Online: 21-11-2022

How to cite this article:

Attaran, S., Mosaedi, A., & Sojasi, H. (2022). Investigating the Role of Natural and Human Factors on Intensification of Floods and Flooding in Kalat City. *Journal of Water and Soil* 36(4): 421-438. (In Persian with English abstract)

DOI: [10.22067/jsw.2022.77163.1173](https://doi.org/10.22067/jsw.2022.77163.1173)

Introduction

The world population has grown rapidly over the last 150 years and continues to do so, resulting in impacts on hydrologic resources at both a local and global scale (Yang et al., 2012). The competition for water between humans and ecosystems leads to complex interactions between hydrologic and social systems (liu et al., 2015). From the beginning of human history, it is located in floodplains. Floods can have large societal impacts, such as severe damage to urban areas, which are expected to grow around the world (Alfieriet al., 2018). In traditional hydrology, humans are either conceptualized as an external force to the system under study or taken into account as boundary conditions (Peel and Blöschl, 2011). Sivapalan et al. (2012) proposed a new model for investigating the interactions of the hydrological system and the social system. It explores the procedure coupled human-water system evolves and possible trajectories of its co-evolution, including the possibility of generating emergent, even unexpected, behaviors. Socio-hydrology must strive to be a quantitative science. There are several methods to control and mitigate flood risk, one of these methods is flood zoning (Jha et al., 2012). In last two decates, The Kalat city is flooded almost every year and many houses and historical sites in the city are damaged. Therefore, the main purpose of this We paper is to show investigated how changing human behavior with nature can affect the behavior of the natural system.

Method and Materials

Kalat city located in 59° 43' 23" to 59° 47' 41" northern latitude and 36° 59' 35" to 37° 00' 05" eastern longitude. The city is divided into 11 sub-basins. The city has experienced fast and inappropriate urbanization over the past few years. To collect our data, the annual reports of the Regional Water Organization and the Environment Organization of Khorasan Province were used.

SCS method was used to estimate the runoff peak discharge. Precipitation has been estimated for seven return periods: 2, 5, 10, 25, 50, 100, and 200 years. In this study, to analyze the sensitivity of runoff, we considered precipitation and curves number from 20% less to 20% more than the actual values in the study basin (at intervals of 5 %). We used the Cowan method to determine the roughness coefficient in this study. HEC-RAS model has been used for flood zoning. To determine the impact of various factors on the intensification of floods in Kalat city, we obtained questionnaires from relevant authorities. Likert scale was used to measure the results of the questionnaires. We prepared two questionnaires; first one is related to the inner city zone and includes the factors that intensify the occurrence of floods inside the city of Kalat, and it was classified into the following parts: 1) Local community 2) Managerial 3) Physical; and the second one includes the factors that intensify the flood in the

1- Master's Degree in Water Science and Engineering, Water Resources Management, Water and Environment Research Institute, Faculty of Agriculture, Ferdowsi University of Mashhad, Mashhad, Iran
2- Professor, Water Science and Engineering Department, Water and Environment Research Institute, Faculty of Agriculture, Ferdowsi University of Mashhad, Mashhad, Iran
(*- Corresponding Author Email: mosaedi@um.ac.ir)
3- Associate Professor of Geography & Rural Planning, Ferdowsi University of Mashhad, Mashhad, Iran

upper part of Kalat city. We classified these factors into three parts: 1) Non-local community 2) Managerial 3) Environmental .

Results and Discussion

Results of sensitivity analyzes demonstrated that land-use and land cover change had a further effect on peak discharge. In sub-basin 1, by 20% increase in the curve number, the level of peak dumping increased by more than 111%, with a return period of 2 year; while a 20% increase in precipitation, in the same return period, rises the peak discharge only 3%. The peak discharge time in some sub-basins was brief due to the presence of impermeable surfaces, so that in sub-basins 4, 6, 7, and 8, the peak discharge time was less than 30 minutes. These results highlight the dangers of these floods and the need for proper flood planning and management in these sub-basins. The results of the Manning coefficient demonstrated that we can reduce flood damage by applying management measures in the future, as well as paying attention to the feedback between urbanization and the flood zone. Roughness control by applying management programs can reduce the area of flood zones to 0.1 square kilometers. In this case, buildings should be removed from the river, and there should be no structure in the path of the river. According to the questionnaires in the inner city part, the most fundamental factor in intensifying the flood damage was related to “activities of local people” with the average of 3.59. In the upper part of the city, the most influential factors were ascribed to “managerial factors” with the average of 3.79.

Conclusion

In a general conclusion, it can be concluded that the role of human factors in the occurrence and intensification of floods was much greater than rainfall. Therefore, in order to manage and control floods, it is necessary to prevent the change of land use and the reduction of permeability. And management programs should be aimed at increasing surface permeability. We suggest that more research be done on the role of economic and social factors in increasing flood risk in other climate zones.

Keywords: Flood management, Kalat city, Roughness coefficient, Social hydrology, Urban hydrology

مقاله پژوهشی

جلد ۳۶، شماره ۴، مهر-آبان ۱۴۰۱، ص. ۴۳۸-۴۲۱

بررسی نقش عوامل طبیعی و انسانی بر تشدید وقوع سیل و آبگرفتگی در شهر کلات

سارا عطاران^۱ - ابوالفضل مساعدی^{۲*} - حمداله سجاسی قیداری^۳

تاریخ دریافت: ۱۴۰۱/۰۴/۱۵

تاریخ پذیرش: ۱۴۰۱/۰۶/۱۳

چکیده

علی‌رغم توسعه علم و فن‌آوری، شواهد نشان می‌دهند که آسیب‌پذیری نسبت به سیل در مقایسه با گذشته افزایش یافته‌است. فعالیت‌های انسانی، تاثیر به‌سزایی در وقوع سیل و خسارات ناشی از آن دارد. به این منظور نیاز است تاثیرات متقابل سیستم انسانی و هیدرولوژیک به دقت بررسی شود. پژوهش حاضر باهدف بررسی تاثیر عوامل طبیعی و انسانی بر تشدید وقوع سیل و آبگرفتگی در شهر کلات (واقع در استان خراسان رضوی) انجام شده‌است. این شهر هر ساله شاهد سیل‌هایی است که خسارات زیادی به ساختمان‌های مسکونی، اداری و بناهای تاریخی شهر وارد می‌کند. برای این منظور تاثیر تغییر شدت بارش و تغییر کاربری اراضی بر دبی اوج رواناب بررسی شد، به‌طوری‌که تغییرات دبی اوج نسبت به افزایش و کاهش ۲۰ درصدی شدت بارندگی و همچنین افزایش و یا کاهش عدد منحنی (CN) برآورد شد. همچنین با ارائه چند سناریو، تاثیر تغییر در رویکردهای مدیریتی به منظور کاهش ضریب‌زبری با مدل‌سازی پهنه سیل و با استفاده از نرم‌افزار HEC-RAS مورد آزمون قرار گرفت. از طرفی به منظور تعیین مهم‌ترین عوامل تاثیرگذار در تشدید وقوع سیل و آبگرفتگی، پرسشنامه‌هایی تهیه و نظرات کارشناسی و فنی متخصصین و کارشناسان اجرایی مورد تحلیل قرار گرفت. پرسشنامه‌های مذکور بر اساس طیف لیکرت پنج امتیازی طراحی شد، به‌گونه‌ای که عدد ۵ نشان‌دهنده بیش‌ترین تاثیر و عدد ۱ بیان‌گر کم‌ترین تاثیر می‌باشد. نتایج نشان داد که تاثیر تغییرات عدد منحنی بر میزان دبی اوج حدود ۳۷ برابر بیشتر از تاثیر تغییرات بارش است. همچنین بررسی سناریوهای مختلف به منظور اصلاح ضریب‌زبری نشان می‌دهد که با انجام برنامه‌های مدیریتی مساحت پهنه سیل در بعضی از زیر حوضه‌ها تا ۱۵ درصد می‌تواند کاهش یابد. تحلیل نتایج پرسشنامه‌ها نشان می‌دهد که مهم‌ترین عوامل درون‌شهری در تشدید وقوع سیل در داخل شهر کلات عوامل "فعالیت‌های مردم محلی" با میانگین امتیاز ۳/۵۹، و در خارج از شهر عوامل "مدیریتی" با میانگین امتیاز ۳/۷۹ هستند.

واژه‌های کلیدی: ضریب‌زبری، کلات، مدیریت سیل، هیدرولوژی اجتماعی، هیدرولوژی شهری

مقدمه

دشت‌های سیل‌گیر مستقر شدند، زیرا در این مناطق شرایط مناسب برای تجارت، کشاورزی و توسعه اقتصادی فراهم بود (Di Baldassarre *et al.*, 2010). دشت‌های سیلاب‌گیر مناطقی هستند که به‌طور دوره‌ای به‌دلیل طغیان رودخانه‌ها به زیر آب می‌روند (Junk *et al.*, 1989). این مناطق از لحاظ فرایندهای هیدرولوژیک به‌وضوح از زمین‌های هم‌جوار خود متمایز هستند (Nardi *et al.*, 2006). همچنین از نظر ارزش اکوسیستم و تولید محصولات کشاورزی و تنوع

جمعیت جهان در طی ۱۵۰ سال گذشته به سرعت افزایش یافته‌است، این رشد جمعیت تأثیراتی بر منابع آب و پاسخ هیدرولوژیک در مقیاس محلی و جهانی داشته‌است (Yang *et al.*, 2012). حوادث طبیعی از ابتدای تاریخ، زندگی بشر را تحت تاثیر قرار داده‌است، اما با افزایش روزافزون جمعیت، قدرت تخریب و خسارات ناشی از وقوع این حوادث افزایش یافته‌است. از زمان ثبت نخستین تمدن‌ها، مردم در

۱- دانش‌آموخته کارشناسی ارشد مدیریت منابع آب، پژوهشکده آب و محیط زیست، دانشکده کشاورزی، دانشگاه فردوسی مشهد، مشهد، ایران

۲- استاد گروه علوم و مهندسی آب، پژوهشکده آب و محیط زیست، دانشکده کشاورزی، دانشگاه فردوسی مشهد، مشهد، ایران

*- نویسنده مسئول: (Email: mosaeedi@um.ac.ir)

۳- دانشیار گروه جغرافیا، رشته جغرافیا و برنامه‌ریزی روستایی، دانشگاه فردوسی مشهد، مشهد، ایران

باعث می‌شود فعل و انفعالات و مکانیسم‌های بازخورد مرتبط بین فرآیندهای هیدرولوژیک و اجتماعی تا حد زیادی ناشناخته بماند (DiBaldassarre, 2013). در هیدرولوژی اجتماعی تمرکز، بر درک انسان و آب به‌عنوان یک سیستم منحصر به فرد است که با روش‌های حل مسئله قدیمی مدیریت آب متفاوت است (Blair and Buytaert, 2016). سیواپالان و همکاران (Sivapalan et al., 2012) مدل جدیدی برای بررسی تعاملات سیستم هیدرولوژیک و سیستم اجتماعی ارائه کردند. این روند تکامل سیستم انسان و آب و مسیرهای احتمالی تکامل همزمان آن‌ها را بررسی می‌کند (Viglione et al., 2014). روش‌های مختلفی برای کنترل و کاهش خطر سیل وجود دارد که یکی از این روش‌ها پهنه‌بندی سیل است (Jha et al., 2012). محققان متعددی از روش‌های بسیاری برای شبیه‌سازی، ارزیابی و پیش‌بینی اثرات شهرنشینی بر واکنش هیدرولوژیک حوضه‌های آبخیز استفاده کرده‌اند (Valeo, 2021; Munawar et al., 2022). افتخاری و همکاران (Eftekhari et al., 2011) پژوهشی با موضوع ارزیابی پهنه‌بندی سیل با تغییرات ضریب‌زبری بر روی رودخانه اترک توسط مدل HEC-RAS انجام دادند. نتایج ایشان نشان داد که با افزایش ضریب‌زبری، گستره پهنه سیل افزایش یافته‌است. بایونی (Baioni, 2011) با مطالعه تاثیر تغییرات الگوهای بارش و فعالیت‌های انسانی بر افزایش تعداد وقایع سیل و رانش زمین در جزیره مادیرا، به این نتیجه رسید که الگوهای بارش در طی قرن بیستم تغییری در میزان بارندگی سالانه را در منطقه مورد نظر نشان نمی‌دهند، ولی فعالیت‌های انسانی و از بین رفتن پوشش سطح زمین به دلیل جنگل‌زدایی و ایجاد معدن، کاهش سطوح نفوذپذیر به دلیل عدم کنترل شهرنشینی و ساخت ساختمان‌ها و جاده‌ها، افزایش تجاوزات در مناطق سیلاب‌دشت از مهم‌ترین عوامل موثر بر تشدید وقوع و خسارات سیل و رانش زمین در منطقه مورد مطالعه می‌باشند. دلیران فیروز و همکاران (Daliran firooz et al., 2015) در پژوهش خود در رابطه با عوامل خسارات سیل در حوضه‌های آبریز قهرود و قمصر به این نتیجه رسیدند که تغییرات کاربری اراضی و افزایش ساخت و سازهای بی‌رویه در امتداد و حریم رودخانه که باعث تغییر در ضریب رواناب، ضریب‌زبری، نفوذپذیری و همچنین تنگ‌شدگی مقطع رودخانه گردیده‌است می‌تواند عوامل اصلی افزایش دبی پیک سیلاب‌ها، و در نتیجه افزایش سطح و عمق پهنه‌های سیل‌گیر باشند. صابری تنسوان و همکاران (Saberi tansavan et al., 2020) با بررسی تاثیر ضریب‌زبری بر عمق، سرعت و پهنه سیل در حوضه رودخانه اترک به این نتیجه رسیدند که با افزایش ضریب‌زبری، عمق و سطح سیل‌گیر افزایش، و سرعت حرکت سیلاب کاهش می‌یابد. محمدی و همکاران (Mohamadi et al., 2017)، هم با شبیه‌سازی و نحوه گسترش پهنه‌های سیلابی در حوضه رود کارون در استان چهارمحال و بختیاری با استفاده از نرم‌افزار HEC-RAS به این نتیجه رسیدند

زیست‌محیطی بسیار شاخص هستند (Opperman et al., 2009). سیل در ۲۰ سال گذشته سومین بلای خسارت‌ساز در جهان بوده‌است (Chan et al., 2022; CRED, 2015). ایران ششمین کشور حادثه‌خیز جهان است و سیل، خسارت‌بارترین حادثه پس از زلزله و خشکسالی است (Asadi et al., 2015). تعداد حوادث سیل و خسارت‌های ناشی از آن در دهه‌های گذشته به‌طور چشمگیری افزایش یافته‌است (Du et al., Di Baldassarre et al., 2013; Tripathi et al., 2012; Aerts et al., 2014; Dankers et al., 2014; al., 2022). سیل‌ها می‌توانند اثرات اجتماعی قابل توجهی، مانند آسیب‌های شدید به مناطق شهری، داشته باشند (Alfieri et al., 2018; Winsemius et al., 2016; Qi et al., 2021). تغییرات آب و هوایی و توسعه اجتماعی-اقتصادی در افزایش تعداد رویدادها و خسارات سیل نقش اساسی دارند (Jha et al., 2012). با افزایش فعالیت‌های انسانی، درک تعاملات و بازخوردها، بین منابع آب و سیستم‌های اجتماعی اهمیت فزاینده‌ای پیدا کرده‌است (Troy et al., 2015; Blair and Buytaert, 2016). برای به حداقل رساندن خطرات و ارائه واکنش اضطراری در زمان وقوع بلایای طبیعی، باید اقدامات مختلفی از سوی مسئولان مدیریت حوادث قبل از وقوع سیل انجام شود (Munawar et al., 2022). خسارات سیل تنها ناشی از مخاطرات طبیعی نمی‌باشد، بلکه به وسیله سیستم اقتصادی، سیاسی و اجتماعی نیز گسترش می‌یابد (Diaconu et al., 2018; Badri et al., 2021). یکی از محورهای اخیر در مدل سازی هیدرولوژیک، ارزیابی اثرات کاربری زمین و تغییرات پوشش گیاهی بر منابع آب و سیل است (Yang et al., 2012). گسترش شهرنشینی یکی از عوامل مهم در تغییرات کاربری اراضی و پوشش زمین است که این عوامل بر پاسخ هیدرولوژیک حوضه و مقدار رواناب و سیلاب‌ها در حوضه‌های آبخیز تاثیر بسیار زیادی دارند (Du et al., 2012). گسترش مناطق شهری به‌طور جدی باعث کاهش نفوذپذیری سطحی می‌شوند، در نتیجه این موضوع تاثیرات زیادی بر فرایندهای هیدرولوژیک می‌گذارد (Feng et al., Dougherty et al., 2006; Ogden et al., 2021). تعاملات و بازخوردهای پیچیده بین انسان و آب موضوعات بسیار مهمی هستند که در رویکردهای سنتی سیستم هیدرولوژیک به‌خوبی شناخته نشده‌اند. با وجود مطالعات گسترده در مورد نحوه سازگاری انسان‌ها با سیل (White, 1945)، اما در نگاه سنتی به هیدرولوژی، انسان یا به‌عنوان یک نیروی خارجی برای سیستم مورد مطالعه تصور می‌شود، یا به‌عنوان شرایط مرزی در نظر گرفته می‌شود (Peel and Blöschl, 2011). رویکردهای مدل‌سازی سنتی فرض می‌کنند که هیچ بازخوردی بین سیستم‌های هیدرولوژیک و انسانی وجود ندارد و بنابراین، نمی‌توانند بینشی در مورد چگونگی تأثیر فعالیت‌های انسانی بر سیستم طبیعی ارائه دهند (Thompson et al., 2013). این نگرش

مواد و روش‌ها

منطقه مورد مطالعه

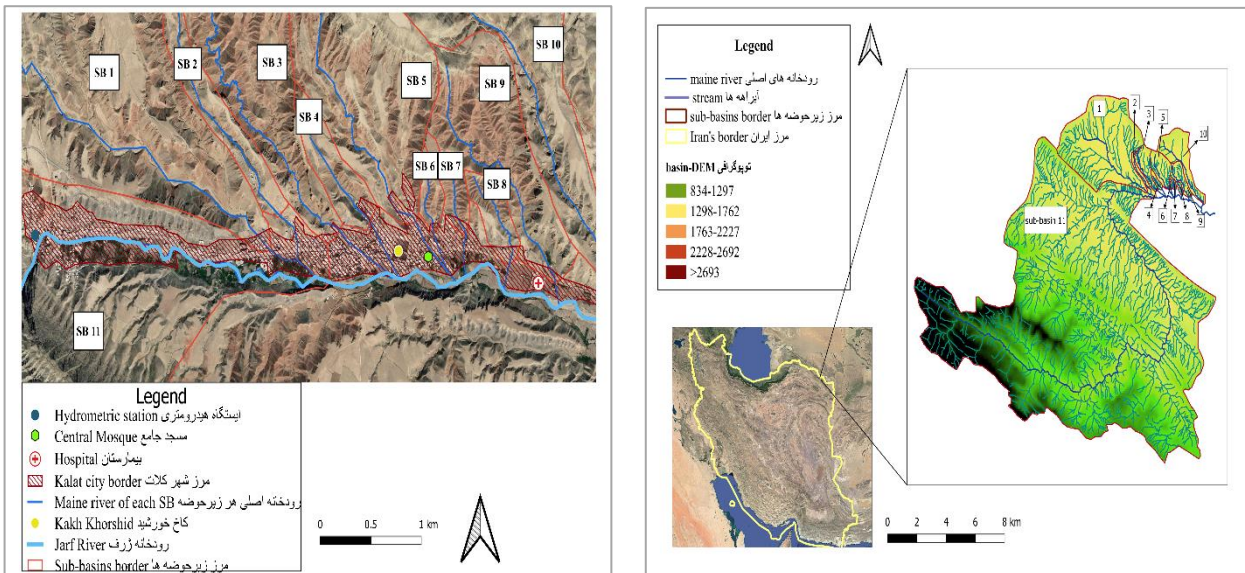
شهرستان کلات نادر در ۵۹ درجه و ۹ دقیقه و ۴۰ ثانیه تا ۶۰ درجه و ۲۷ دقیقه و ۲۵ ثانیه طول شرقی و ۳۶ درجه و ۲۴ دقیقه و ۲۰ ثانیه تا ۳۷ درجه و ۱۷ دقیقه عرض شمالی قرار دارد. این شهرستان در شمال شرقی کشور قرار گرفته است. شهر کلات و ارتفاعات مشرف بر آن را می‌توان به ۱۱ زیر حوضه تقسیم نمود. موقعیت شهر کلات در ایران و همچنین زیرحوضه‌های مورد مطالعه در شکل ۱ نشان داده شده است.

شهر کلات در یک منطقه نیمه کوهستانی قرار گرفته است. در محدوده شهر کلات یک رودخانه در راستای غرب به شرق جریان دارد که شهر در امتداد آن و به صورت خطی گسترش یافته است. این رودخانه، رود اصلی کلات است که از حوضه‌ای به نام حوضه آبریز ژرف منشاء می‌گیرد. در منطقه مورد مطالعه در این پژوهش یک ایستگاه هیدرومتری در ابتدای شهر کلات به نام ایستگاه دربند کلات نادر وجود دارد. این ایستگاه بر روی رودخانه اصلی کلات (ژرف رود) قرار دارد. انواع کاربری اراضی در این منطقه شامل کاربری شهری، کشاورزی، مرتع و بایر است. در این میان، کاربری شهری، عمده‌ترین نوع کاربری زمین در محدوده شهر می‌باشد.

که افزایش و کاهش CN اثر افزایشی و کاهش بر دبی سیلابی حوضه داشته است.

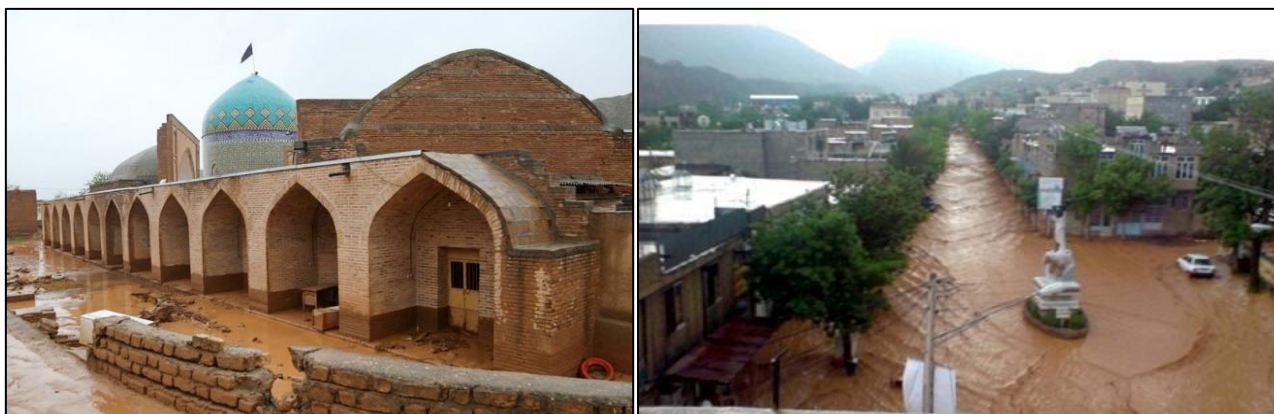
ما و همکاران (Ma et al., 2019) هم با ارزیابی خطر سیلاب‌های ناگهانی در استان یونان (Yunnan) چین بر اساس عوامل هواشناسی، هیدرولوژیک، زمین‌شناسی و انسان‌شناختی، به این نتیجه رسیدند که مقدار عدد منحنی بیش‌ترین تأثیر را بر افزایش خطر سیلاب‌های ناگهانی دارد.

با توجه به موارد بیان شده، قرار گرفتن شهرها و روستاها در مناطق کوهپایه‌ای، از میان رفتن پوشش گیاهی، رعایت نکردن حریم رودخانه‌هایی که غالباً از میان و یا کنار شهرها می‌گذرند، ساخت و سازهای بی‌رویه در مسیر رودخانه‌ها، و یا زیرک‌شست بردن بخشی از اراضی حریم رودخانه‌ها و سایر عوامل مشابه از دلایل اصلی وقوع سیلاب می‌باشند. در دو دهه اخیر شهر کلات تقریباً هر ساله دچار آب‌گرفتگی می‌شود و بسیاری از منازل مسکونی و یا اماکن تجاری، اداری و تاریخی شهر دچار آسیب می‌شوند. با توجه به خسارات روزافزون ناشی از وقوع سیلاب در ایران و نقش عوامل انسانی در آن، می‌بایست با یک رویکرد جدید تعاملات بین سیستم هیدرولوژیک و اجتماعی با دیدگاه مدیریت سیل مورد بررسی قرار گیرد. از این رو، در این پژوهش به بررسی چگونگی تأثیر عوامل طبیعی (بارش) و انسانی بر پاسخ هیدرولوژیک در شهر کلات پرداخته شده است.



شکل ۱- (الف) موقعیت حوضه مورد مطالعه در ایران و سیستم رودخانه‌ها و زیرحوضه‌ها در محدوده مورد مطالعه. (ب) موقعیت شهر کلات، ایستگاه هیدرومتری و مکان‌های مهم شهر و زیرحوضه‌ها

Figure 1- (a) Location of the study basin in Iran and the system of rivers and sub-basins in the study area. (b) Locations of Kalat city, hydrometric station and important places of the city and sub-basins



شکل ۲- تصاویر آبرگرفتنی معابر و مسجد جامع شهر کلات
Figure 2- Images of flooding of passages and the Central Mosque of Kalat

جدول ۱- مشخصات ایستگاه هیدرومتری در بند کلات نادری

Table 1- Specifications of Darband Kalat Naderi hydrometric station

نام ایستگاه Station name	کد ایستگاه Station code	حوضه Basin	X-UTM	Y-UYM	ارتفاع Height	متوسط دبی (m ³ /s) Average Discharge
در بند کلات نادری Darband Kalat	66-010	قره قوم Ghareghom	742634	4098007	960	0.27

لیکرت برای عوامل درون حوضه‌ای و بالادست حوضه طراحی شد؛ که هر بخش شامل سوالاتی در حوزه‌های مدیریتی، فعالیت‌های مردمی و عوامل طبیعی بود. روابط و روش‌های مورد استفاده در ادامه شرح داده شده‌اند.

برآورد دبی اوج

برای برآورد دبی اوج سیلاب از روش SCS استفاده شد (Salami et al., 2017; Jha et al., 2012; Alizadeh, 2007). روش SCS به علت دارا بودن پارامترهای حساس کمتر، از کارایی به مراتب بالاتری نسبت به دیگر روش‌ها برخوردار می‌باشد رودکی و عزیزیان (Roodaki and Azizian, 2020) بر اساس این روش، دبی اوج سیلاب از رابطه ۱ برآورد شد.

$$Q_p = \frac{2.08 * A * R}{T_p} \quad (1)$$

در این رابطه Q_p : دبی اوج (متر مکعب در ثانیه)، A : مساحت حوضه آبریز (کیلومتر مربع)، R : ارتفاع رواناب (میلی‌متر)، T_p : زمان رسیدن به دبی اوج (ساعت) هستند. مقدار ارتفاع رواناب (R) با استفاده از رابطه ۲ برآورد شد.

$$R = \frac{(P - 0.2S)^2}{P + 0.8S} \quad (2)$$

در این معادله P مقدار ارتفاع بارندگی (میلی‌متر) و S عامل مربوط به نگهداشت آب (میلی‌متر) هستند.

این شهر در دو دهه اخیر به سرعت گسترش یافته‌است. همچنین افزایش سریع جمعیت و تغییر بافت روستایی به شهری منجر به ساخت و سازهای غیراصولی و تجاوز به حریم رودخانه شده‌است. از طرفی، مشکل آبرگرفتنی و سیل به یکی از مهم‌ترین دغدغه‌های ساکنین تبدیل شده‌است. بنابراین، ارزیابی اثرات هیدرولوژیک و هیدرولیکی تغییرات کاربری زمین برای وضعیت کنونی شهر کلات و همچنین سناریوهای آتی ضروری است. شکل ۲ تصاویری از آبرگرفتنی در شهر کلات را نشان می‌دهد.

روش تحقیق

این پژوهش به منظور بررسی شرایط سیل‌خیزی و عوامل موثر در وقوع سیل در شهر کلات انجام شده‌است. برای این منظور ابتدا با استفاده از داده‌های بارش روزانه مقدار دبی اوج رواناب و زمان تمرکز هر زیرحوضه بر اساس روش SCS برآورد شد. از طرفی برای بررسی تاثیر دو پارامتر کلیدی بارش (P) و عدد منحنی (CN) بر میزان دبی اوج سیل در منطقه مورد مطالعه، آنالیز حساسیت در رابطه با تعیین میزان حساسیت تغییر دبی اوج سیل به تغییر مقادیر بارش و عدد منحنی انجام شد. سپس به منظور مدل‌سازی پهنه سیل مقادیر ضریب‌زبری در هر زیرحوضه برآورد شد. پهنه‌بندی سیل در دوره‌های بازگشت مورد نظر با استفاده از نرم‌افزار HRC-RAS انجام گرفت. همچنین جهت تعیین مهم‌ترین عوامل تشدید وقوع سیل در این حوضه از دیدگاه مسئولین، پرسشنامه‌هایی بر اساس طیف پنج درجه‌ای

مربوط به کاربری اراضی استفاده شد. در این پژوهش از تغییرات شرایط پوشش گیاهی در طول سال صرف نظر شد، همچنین رطوبت پیشین با فرض اینکه خاک قبل از بارش در وضعیت رطوبتی ۳ (خاک مرطوب) باشد در نظر گرفته شد. با توجه به این که در شبیه سازی های مهندسی و بخصوص موارد مرتبط با سیل، عموماً بحرانی ترین شرایط در نظر گرفته می شود، و با توجه به اینکه در شرایطی که رطوبت اولیه خاک بالا باشد (وضعیت رطوبتی ۳)، مقدار رواناب تولید شده بیشترین مقدار است، بنا بر این، وضعیت رطوبتی خاک در وضعیت مرطوب (وضعیت ۳) در نظر گرفته شد. با این وجود به منظور بررسی تغییر احتمالی شرایط رطوبتی و همچنین تغییر عدد منحنی، آنالیز حساسیت مقدار دبی اوج سیل نسبت به CN و بارش انجام شد.

آنالیز حساسیت

در آنالیز حساسیت میزان تاثیر پارامترها، روی نتایج مدل مورد بررسی قرار می گیرد. از جمله پارامترهای هیدرولوژیک تاثیرگذار در مقدار دبی، میزان بارش و عدد منحنی (CN)، است. در این پژوهش برای تحلیل حساسیت دبی رواناب حاصل از بارش، مقادیر بارش و عدد منحنی از ۲۰٪ کمتر تا ۲۰٪ بیشتر از مقادیر برآورد شده برای حوضه مورد مطالعه (با فواصل ۵٪) در نظر گرفته شد.

برآورد ضریب زبری (n)

ضریب زبری هیدرولیکی رودخانه به درجه مقاومت در مقابل جریان گفته می شود. قضاوت مهندس در تخمین این ضریب نقش مهمی دارد. راه مناسب در تخمین صحیح تر ضریب n، شناخت عوامل موثر در آن است. برای برآورد این ضریب در این پژوهش از رابطه کاون (معادله ۸) استفاده شده است (Cowan, 1956).

$$n = (n_0 + n_1 + n_2 + n_3 + n_4) * m \quad (8)$$

در این معادله n_0 ضریب زبری جنس بستر، n_1 ضریب میزان بی نظمی سطح، n_2 ضریب تغییر سطح مقطع، n_3 ضریب موانع بر سر راه جریان، n_4 ضریب پوشش گیاهی و m ضریب تاثیر مماندر هستند (Marcus et al., 1992).

به منظور بررسی تأثیر تغییرات احتمالی ضریب زبری بر پهنه سیل، مقادیر این ضریب به گونه ای تغییر داده شد تا تأثیر تغییرات احتمالی شرایط بستر و سیلاب راه مانند: تغییر در مصالح و دانه بندی بستر و جداره ها، افزایش یا کاهش پوشش گیاهی، تغییر در شکل کانال و...، در سه سناریو مورد بررسی قرار گیرد. به این منظور سه سناریو به شرح زیر در نظر گرفته شد و پهنه سیلاب در منطقه مورد مطالعه تحت این سه سناریو مدل سازی شد.

ضریب زبری در شرایط فعلی منطقه مورد مطالعه. تو سعه نامنا سب شهر و افزایش فعالیت های انسانی به صورت

در دسترس بودن شدت بارندگی در دوره های بازگشت مختلف برای بسیاری از مدل سازی های هیدرولوژی الزامی است. به همین منظور در این پژوهش از روابط شدت-مدت-بارندگی که توسط قهرمان و آبخر (Ghahraman and Abkhezr, 2004) بر اساس معادلات ۳ و ۴ ارائه شده، استفاده شده است.

$$P_{60}^{10} = 1.34 * (P_{24})^{0.649} \quad (3)$$

$$P_T^t = (0.4524 + 0.247 \ln(T - 0.6)) * (0.3710 + 0.6184 * t^{0.4484}) * P_{60}^{10} \quad (4)$$

در این معادلات P_{60}^{10} میزان بارش یک ساعته با دوره بازگشت ۱۰ سال، P_{24} میانگین حداکثر بارش ۲۴ ساعته در حوضه، T دوره بازگشت و t تناوب بارش بر حسب دقیقه می باشد.

با توجه به اینکه بیشترین دبی اوج در هر زیرحوضه در حالتی رخ می دهد که زمان تناوب بارندگی با زمان تمرکز همان زیرحوضه برابر باشد، در نتیجه می بایست زمان تمرکز هر زیر حوضه تعیین شود. به منظور برآورد زمان تمرکز زیر حوضه ها از روش (NRCS 2010) استفاده شد. این روش به نام روش زمان تاخیر معروف است و طبق این روش زمان تمرکز حوضه از رابطه ۵ برآورد می شود.

$$t_c = 1.67 * t_{lag} \quad (5)$$

در این رابطه t_{lag} زمان تاخیر (ساعت) است که از رابطه ۶ برآورد می شود.

$$t_{lag} = \frac{0.304 * L^{0.8} * (S + 1)^{0.7}}{1900 * y^{0.5}} \quad (6)$$

که در این معادله، L: طول رودخانه اصلی (متر)، S: نمایه نگهداشت آب در داخل حوضه (میلی متر)، y: متوسط شیب حوضه (درصد) است. مقدار نمایه نگهداشت آب از رابطه ۷ برآورد شد.

$$S = \frac{25400}{CN} - 254 \quad (7)$$

در این رابطه S عامل مربوط به نگهداشت آب (میلی متر) و CN عدد منحنی حوضه آبریز (بی بعد) می باشد.

برآورد عدد منحنی

عدد منحنی یک نمایه مربوط به خصوصیات نفوذ حوضه می باشد که با توجه به گروه هیدرولوژیکی خاک، مقدار رطوبت اولیه و نوع کاربری اراضی تعیین می شود. هودکینگ و همکاران (Hodgkins et al., 2017) در طراحی های هیدرولوژیکی یک برای تعیین عدد منحنی فرض می شود که گروه هیدرولوژیکی خاک تغییر ننماید. رطوبت خاک هم به طور معمول برای وضعیت رطوبت متوسط در نظر گرفته می شود (که در ادامه می توان با توجه به وضعیت رطوبت خاک مقدار عدد منحنی را اصلاح نمود). برای تعیین وضعیت کاربری اراضی و گروه هیدرولوژیکی خاک منطقه از عکس های هوایی و نقشه های

نامناسب و سازماندهی نشده و افزایش ضریب‌زبری. تغییر برنامه‌ها، شیوه‌های مدیریتی و سیاست‌ها به گونه‌ای که فعالیت‌های انسانی، ضریب‌زبری را کاهش دهد. در سناریوی اول، مدل‌سازی پهنه‌سیلاب با مقادیر دبی با دوره‌های بازگشت ۵۰، ۱۰۰ و ۲۰۰ ساله با روش SCS انجام شد.

مدل‌سازی پهنه‌سیل

در این پژوهش، به منظور مدل‌سازی پهنه‌سیلاب از نرم‌افزار HEC-RAS استفاده شده است. این نرم‌افزار قابلیت پردازش اطلاعات در سیستم GIS را دارد و می‌تواند پهنه سیلاب را به صورت دو بعدی شبیه‌سازی کند (Du et al., 2012؛ Harrower, 2010؛ Chan et al., 2022). در HEC-RAS، داده‌های مورد نیاز از سه بخش اصلی تشکیل می‌شود که شامل اطلاعات توپوگرافی، اطلاعات جریان و سایر اطلاعات هیدرولیکی جریان می‌باشد. این الزامات باید قبل از اجرای شبیه‌سازی تعیین شوند (Romali et al., 2018). برای اطلاعات توپوگرافی از یک مدل رقومی ارتفاعی به نام شبکه نامنظم مثلثی (TIN) استفاده شد. سپس، داده‌های مقادیر دبی جریان در ایستگاه هیدرومتری دربند کلات نادر به مدل معرفی شدند. اطلاعات هیدرولیکی مورد نیاز (از جمله مقادیر ضریب زبری) با بررسی عکس‌های هوایی و مدل ارتفاعی رقومی منطقه و همچنین با توجه به نقشه‌های موجود و مشاهدات میدانی، تعیین شدند. به منظور پهنه‌بندی سیل، ابتدا اطلاعات توپوگرافی در نرم‌افزار GIS و با استفاده از افزونه HEC-GEORAS (نسخه 10.2) وارد شدند. پس از تعیین مقاطع عرضی با استفاده از این افزونه، اطلاعات به نرم‌افزار HEC-RAS منتقل شد و سایر داده‌های جریان و اطلاعات هیدرولیکی (از قبیل ضریب زبری) به مدل اضافه شدند. پس از انجام مدل‌سازی تحت شرایط مورد نظر (در دوره‌های بازگشت مختلف و تحت سناریوهای ذکر شده برای مقادیر مختلف ضریب زبری)، مقادیر استخراج شده از مدل به منظور مقایسه وضعیت پهنه‌سیل (در دوره‌های بازگشت مختلف و تحت سناریوهای ذکر شده)، در محیط GIS مورد بررسی قرار گرفتند.

پرسشنامه

به منظور تعیین تاثیر عوامل گوناگون بر تشدید وقوع سیل در شهر کلات، پرسشنامه‌ها تهیه و از طریق مصاحبه با سخ‌سئالات مربوطه از متخصصان و دست‌اندرکاران مرتبط با موضوع سیل و آبگرفتگی در شهر کلات، اخذ شد. به منظور تعیین تعداد پاسخگویان به پرسشنامه‌ها از روش "گلوله برفی نمونه‌گیری خطی" استفاده شد. در این روش هر یک از اعضای نمونه، یک فرد جدید را برای ادامه روند نمونه‌گیری معرفی می‌کنند و تعداد پاسخگویان تا اشباع نظری

ادامه داشت. یعنی تا زمانی که به شکل نظری پاسخ‌ها تقریباً مشابه بودند (Ghaljaee et al., 2017). پاسخگویان شامل متخصصین در رشته‌های مربوط به آب، مانند مهندسی آب، عمران آب، منابع طبیعی، کشاورزی، آب و فاضلاب و محیط زیست بودند که عموماً در سازمان‌هایی در شهر کلات فعالیت داشتند. پرسشنامه تدوین شده در قالب طیف پنج درجه‌ای لیکرت (با میزان خیلی کم (۱)، کم (۲)، متوسط (۳)، زیاد (۴) و خیلی زیاد (۵)) تهیه شد. بدین ترتیب پاسخ‌های کیفی به اعداد کمی تبدیل می‌شوند. طیف لیکرت به منظور اندازه‌گیری "نگرش" به روش علمی پذیرفته شده است (Schwartz and Smith, 2014). با توجه به بازدیدهای میدانی و بررسی گزارشات اولیه و همچنین پیش‌مصاحبه با مردم و مسئولین مربوطه، سئالات پرسشنامه به دو بخش تقسیم شدند:

الف) عواملی که در داخل شهر کلات باعث تشدید وقوع سیل و آبگرفتگی می‌شوند.

ب) عواملی است که در بالادست شهر کلات باعث ایجاد سیل و ورود سیل به داخل شهر می‌شوند.

سئالات پرسشنامه اول در سه بخش دسته‌بندی شدند:

الف-۱) جامعه محلی (تغییرات در سیستم رودخانه توسط مردم محلی در طول سال‌ها) شامل هشت سئوال.

الف-۲) مدیریتی (سیاست‌های نادرست، نبود برنامه‌های مدیریتی مناسب و ...) شامل هشت سئوال.

الف-۳) فیزیکی (عدم انجام فعالیت‌های توسعه مناسب در حوضه و ...) شامل سه سئوال.

همچنین سئالات پرسشنامه دوم در سه بخش دسته‌بندی شدند:

ب-۱) اجتماع غیر محلی (فعالیت‌های انسانی و تغییرات رودخانه در بالادست شهر) شامل هفت سئوال.

ب-۲) مدیریتی (عوامل مرتبط با مدیریت رودخانه، سیاست‌گذاری و ...) شامل دو سئوال.

ب-۳) محیطی (تغییر اقلیم، تغییر الگوی بارش، و سایر عوامل طبیعی که از بالادست بر تغییر دبی رودخانه تاثیر می‌گذارند) شامل سه سئوال.

برای تحلیل آماری داده‌های پرسشنامه‌ها از نرم‌افزار SPSS استفاده شد (Bala, 2016).

نتایج و بحث

با توجه به کاربری و پوشش اراضی منطقه مورد مطالعه، مقدار عدد منحنی، زمان اوج سیلاب و زمان تمرکز (برابر با زمان اوج) با استفاده از رابطه ۵ و بر اساس رابطه NRCS برای هر زیرحوضه تعیین شد. این مقادیر در جدول ۲ آورده شده است. با توجه به جدول ۲ زمان تمرکز در اکثر زیرحوضه‌ها، بخصوص

نتایج آنالیز حساسیت

به منظور تحلیل حساسیت دبی اوج نسبت به تغییرات بارش و تغییر کاربری اراضی، آنالیز حساسیت روی افزایش و یا کاهش دو پارامتر بارش (P) و عدد منحنی (CN) انجام شد. همچنین به دلیل عدم قطعیت‌های موجود به بررسی شکل تغییرات دبی در مقایسه با تغییر بارش و عدد منحنی پرداخته شد، تا بررسی شود که اگر موارد فوق، به دلیل عدم قطعیت‌ها و برخی عوامل تاثیر گذار که به دلیل ساده سازی از آن‌ها صرف نظر شده است، بیشتر یا کمتر از مقادیر برآورد شده باشند، چه تغییرات احتمالی در نتایج ایجاد می‌شود. از این رو آنالیز حساسیت روی افزایش و یا کاهش دو پارامتر P و CN با فرض افزایش و یا کاهش مقادیر هر یک از این متغیر تا میزان ۲۰٪ مقدار اولیه انجام شد. از آنجا که بزرگترین مقدار ممکن برای شماره منحنی عدد ۱۰۰ می‌باشد و مقدار CN برخی زیرحوضه‌ها در منطقه شهری مقادیر بالاتر از حدود ۸۵ را به خود اختصاص می‌دهند، با ۲۰٪ افزایش در CN، مقدار آن از ۱۰۰ (که ماکسیمم مقدار برای این پارامتر است) بیشتر خواهد شد. برای رفع این مشکل در تمام زیرحوضه‌هایی که این شرایط را دارند، حداکثر مقدار CN برابر ۱۰۰ در نظر گرفته شده است.

در زیرحوضه‌های ۴، ۶، ۷ و ۸ بسیار کوتاه و کمتر از نیم ساعت است. کوتاه بودن زمان تمرکز این زیرحوضه‌ها می‌تواند خطر ناک بودن رواناب‌های ناشی از این زیرحوضه‌ها و در اختیار نداشتن زمان کافی برای انجام اقدامات آنی را نشان دهد. پس از پردازش اطلاعات اولیه مقدار دبی اوج برای هر زیرحوضه از رابطه ۱ برآورد شد که این مقادیر در جدول ۳ ارائه شده‌اند.

طبق مشاهدات به عمل آمده از شهر کلات، بیشترین آسیب‌های سیلاب ناشی از سیلاب‌های زیرحوضه‌های ۲، ۳، ۴ و ۵ می‌باشد که بیشترین خسارات را به منازل مسکونی، مغازه‌ها و بناهای تاریخی شهر مانند کاخ خورشید و مسجد جامع شهر وارد می‌کند. هیدروگراف سیل زیرحوضه‌های ذکر شده در دوره‌های بازگشت مختلف در شکل ۳ نشان داده شده است. بر اساس روش هیدروگراف واحد مصنوعی هیدروگراف SCS و با توجه به مشخص بودن مقادیر Q_p/Q_p در مقابل مقادیر t/t_p و با در دسترس بودن مقادیر Q_p برای دوره‌های بازگشت مورد نظر، هیدروگراف‌های مشخص شده در شکل ۳ در زمان‌های مشخص برای هر یک از زیرحوضه‌ها بدست می‌آیند. در شکل ۳ زمان دبی اوج سیلاب و مقدار دبی اوج برای زیرحوضه‌های ۲، ۳، ۴ و ۵ نشان داده شده است.

جدول ۲- زمان تمرکز و شماره منحنی هر زیرحوضه

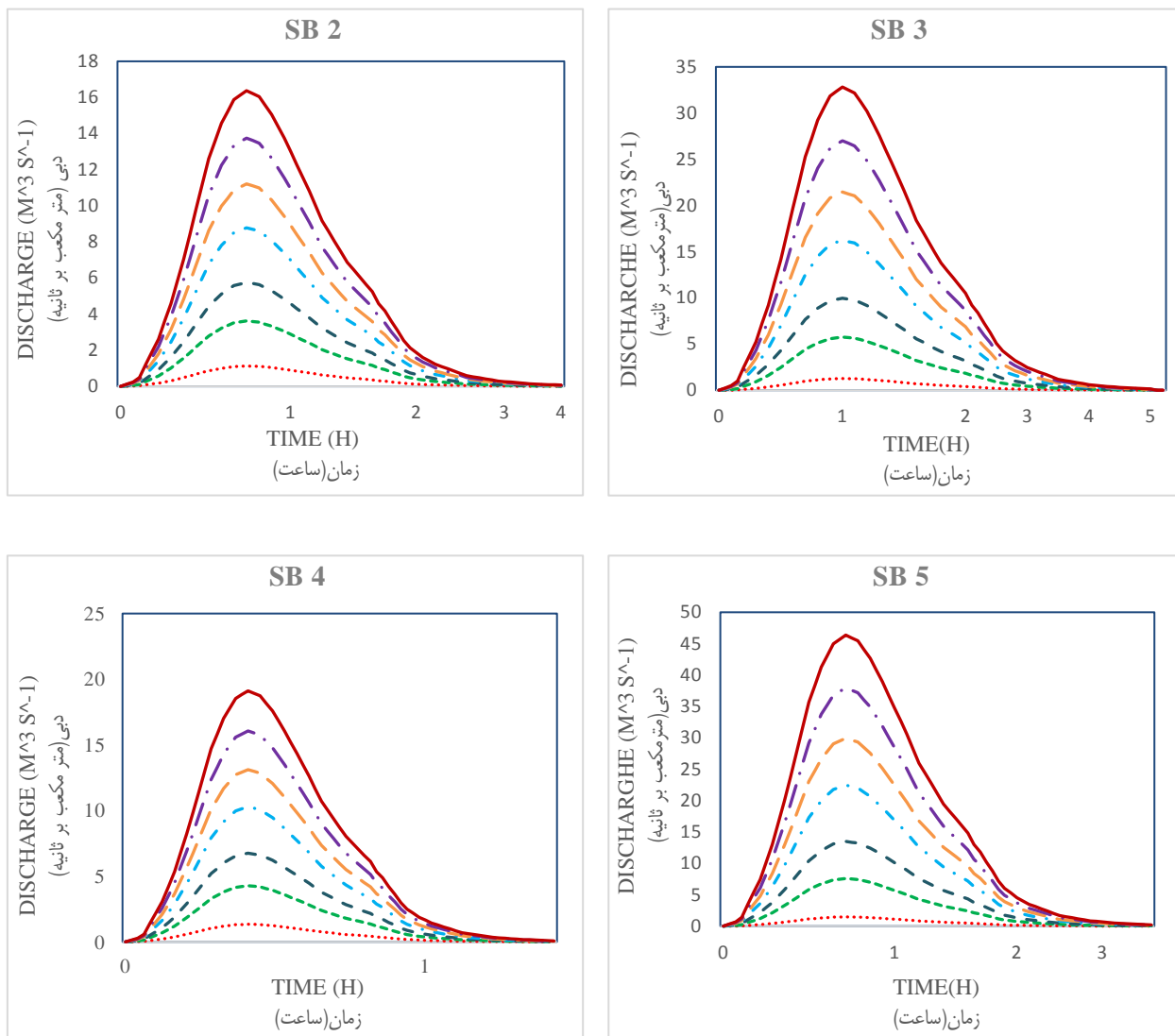
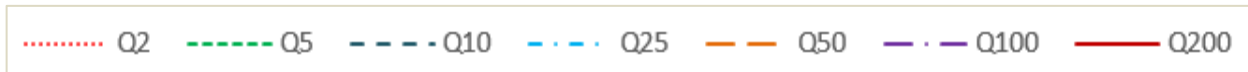
Table 2- Concentration time and Curve Number of each sub-basin

شماره زیر حوضه Sub-basin no.	SB 1	SB 2	SB 3	SB 4	SB 5	SB 6	SB 7	SB 8	SB 9	SB 10	SB 11
شماره منحنی CN	84	94	92	95	92	95	95	95	91	89	76
زمان تمرکز (ساعت) $t_c(h)$	2.3	0.7	0.9	0.3	0.7	0.2	0.2	0.3	0.6	1.1	8.5

جدول ۳- مقادیر دبی اوج سیلاب (m^3/s) در دوره‌های بازگشت مختلف برای هر زیرحوضه

Table 3- Flood peak discharge values (m^3/s) for different return periods in each sub-basin

شماره زیرحوضه Sub-basins no.	دوره بازگشت (سال) Return Period (year)						
	2	5	10	25	50	100	200
SB 1	1.72	8.93	22.42	46.13	67.68	91.88	118.40
SB 2	1.13	3.63	5.75	8.78	11.21	13.75	16.37
SB 3	1.26	5.75	9.96	16.25	21.46	27.00	32.82
SB 4	1.34	4.27	6.75	10.28	13.11	16.06	19.11
SB 5	1.48	7.59	13.50	22.45	29.94	37.93	46.37
SB 6	0.53	1.80	2.90	4.48	5.75	7.08	8.47
SB 7	0.80	2.70	4.33	6.67	8.56	10.53	12.57
SB 8	1.10	3.33	5.20	7.84	9.95	12.13	14.39
SB 9	1.45	6.58	11.39	18.57	24.52	30.84	37.48
SB 10	1.30	9.46	17.99	31.33	42.69	54.98	68.07
SB 11	7.15	21.33	51.65	119.54	183.80	257.56	339.72



شکل ۳- هیدروگراف سیل زیر حوضه‌های ۲، ۳، ۴ و ۵ در دوره‌های بازگشت مورد نظر
Figure 3- Flood hydrograph of sub-basins 2, 3, 4 and 5 in the desired return period

مدل‌سازی پهنا سیل

از آنجایی که شرایط زیرحوضه‌های ۱ تا ۱۰ از نظر وضعیت زمین‌شناسی و سازندهای تشکیل‌دهنده آن، مصالح و جنس بستر، توپوگرافی و کاربری اراضی و همچنین تغییرات مقطعی، وجود موانع و پوشش گیاهی تقریباً مشابه می‌باشند، برای این زیرحوضه‌ها مقادیر یکسانی برای ضریب‌زبری آبراهه‌های آنها در نظر گرفته شد. در زیرحوضه ۱۱ به دلیل متفاوت بودن شرایط کانال اصلی و سیلاب‌دشت، مقدار ضریب‌زبری متفاوت با آبراهه‌های حوضه‌های ۱ تا ۱۰ می‌باشد.

شکل‌های ۴ و ۵ میزان تغییرات مقادیر دبی در دوره‌های بازگشت مختلف را نسبت به تغییر CN و بارش در زیرحوضه‌های ۱ و ۴ نشان می‌دهند.

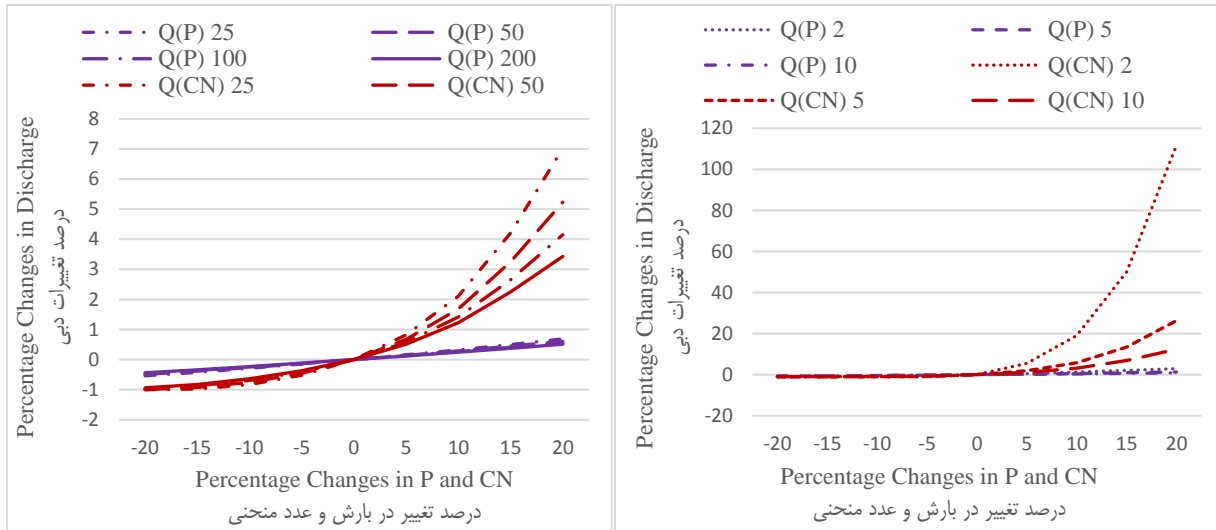
نتایج آنالیز حساسیت نشان می‌دهد که تغییر کاربری اراضی و پوشش زمین تأثیر بیشتری بر دبی اوج دارد. به طوری که در زیرحوضه ۱، با ۲۰ درصد افزایش در عدد منحنی، دبی اوج با دوره بازگشت ۲ سال بیش از ۱۱۰ درصد افزایش می‌یابد. در حالی که افزایش ۲۰ درصدی بارندگی، در همان دوره بازگشت، دبی اوج را تنها ۳ درصد افزایش می‌دهد.

شکل‌های ۶ و ۷ تراز آب را در زیرحوضه‌های ۱ و ۸ تحت سناریوهای مورد بحث، با مقدار دبی با دوره‌های بازگشت ۵۰، ۱۰۰ و ۲۰۰ سال نشان می‌دهند.

شکل ۸ پهنه سیل در سه سناریوی مذکور (در شرایط فعلی منطقه، افزایش ضریب‌زبری، کاهش ضریب‌زبری) را در محدوده تعدادی از زیرحوضه‌ها و همچنین رودخانه اصلی (حوضه شماره ۱۱) نشان می‌دهد.

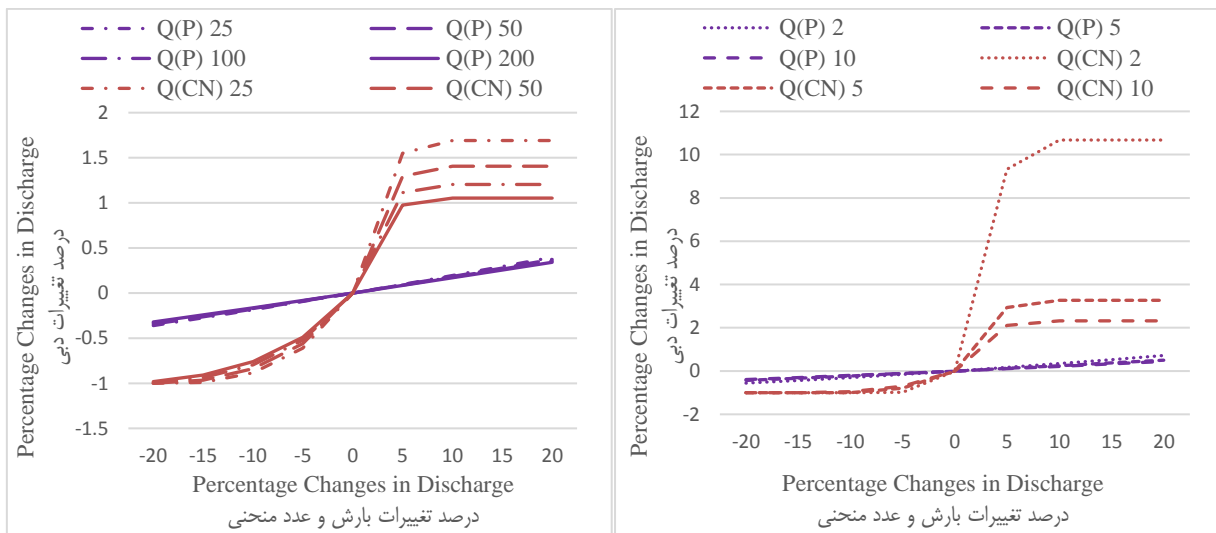
مقادیر ضریب‌زبری آبراهه‌ها، رودخانه اصلی (رودخانه ژرف) و سیلاب‌دشت رودخانه با استفاده از معادله ۸ و بر اساس سه سناریوی یاد شده (شرایط فعلی منطقه، افزایش ضریب‌زبری، کاهش ضریب‌زبری) در جدول ۴ نشان داده شده‌است. مدل‌سازی سیلاب تحت این ۳ سناریو انجام شد.

برای شبیه‌سازی سیلاب در منطقه مورد نظر حدود ۵۰ مقطع عرضی بر روی رودخانه اصلی و سایر رودخانه‌ها در نظر گرفته شد.



شکل ۴- درصد تغییرات مقادیردبی در دوره‌های بازگشت مختلف ۲ تا ۱۰۰ سال نسبت به تغییرات CN و بارش (۲۰٪ کم‌تر تا ۲۰٪ بیش‌تر از مقادیر واقعی) در زیرحوضه ۱

Figure 4- Percentage changes in discharge values in different return periods (2-100 years) relative to changes (20% less to 20% more than actual values) CN and precipitation in sub-basin 1



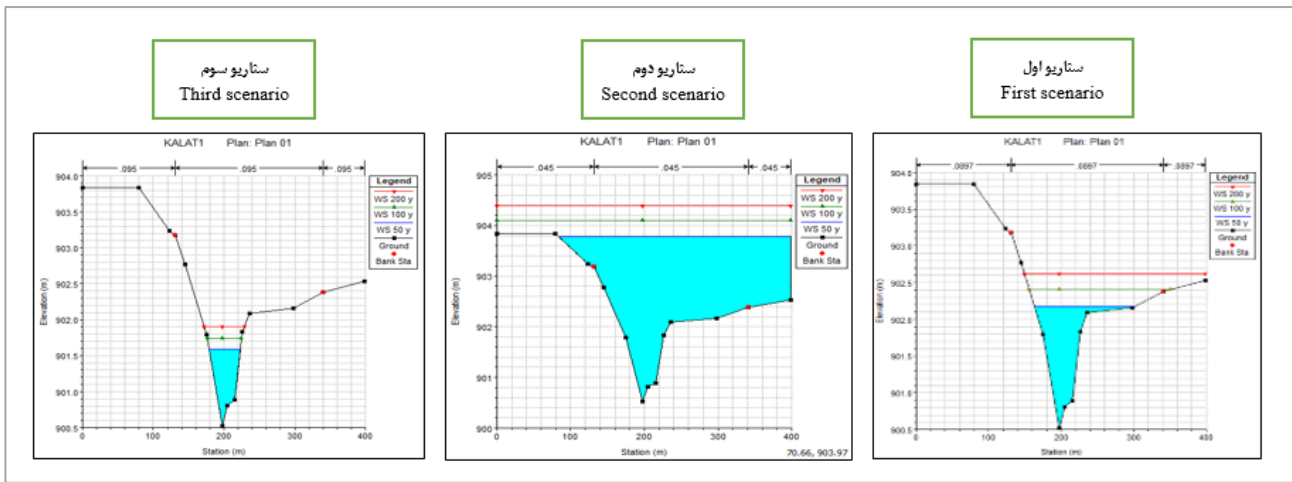
شکل ۵- درصد تغییرات مقادیردبی در دوره‌های بازگشت مختلف ۲ تا ۱۰۰ سال نسبت به تغییرات CN و بارش (۲۰٪ کم‌تر تا ۲۰٪ بیش‌تر از مقادیر واقعی) در زیرحوضه ۴

Figure 5. Percentage of changes in discharge values during different return periods (2-100 years) compared to changes CN and precipitation (20% less to 20% more than actual values) in sub-basin 4

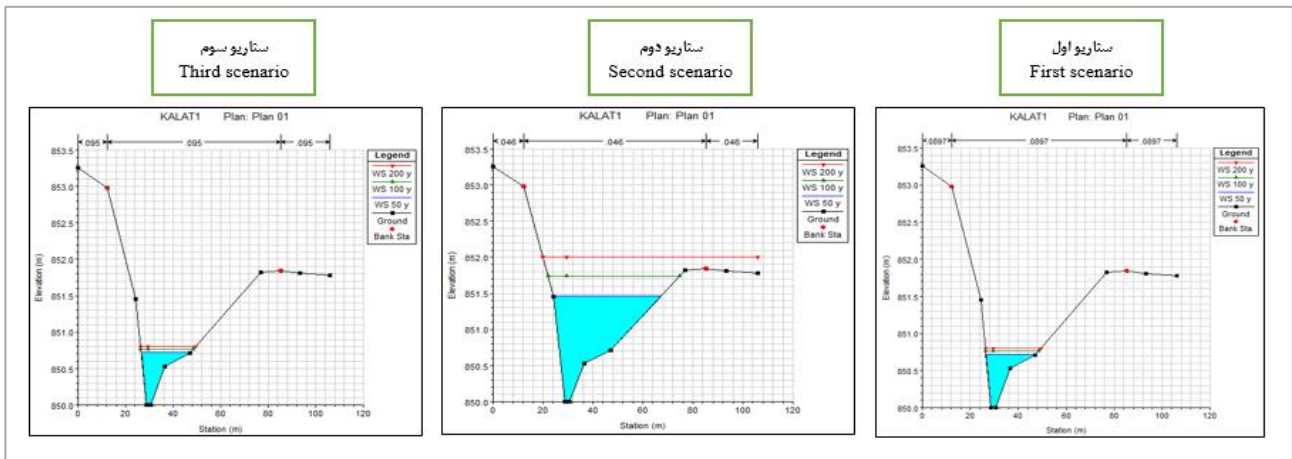
جدول ۴- مقادیر ضریب زبری رودخانه و آبراهه‌ها در سناریوهای مختلف

Table 4- Roughness coefficient values for main river and streams in different scenarios

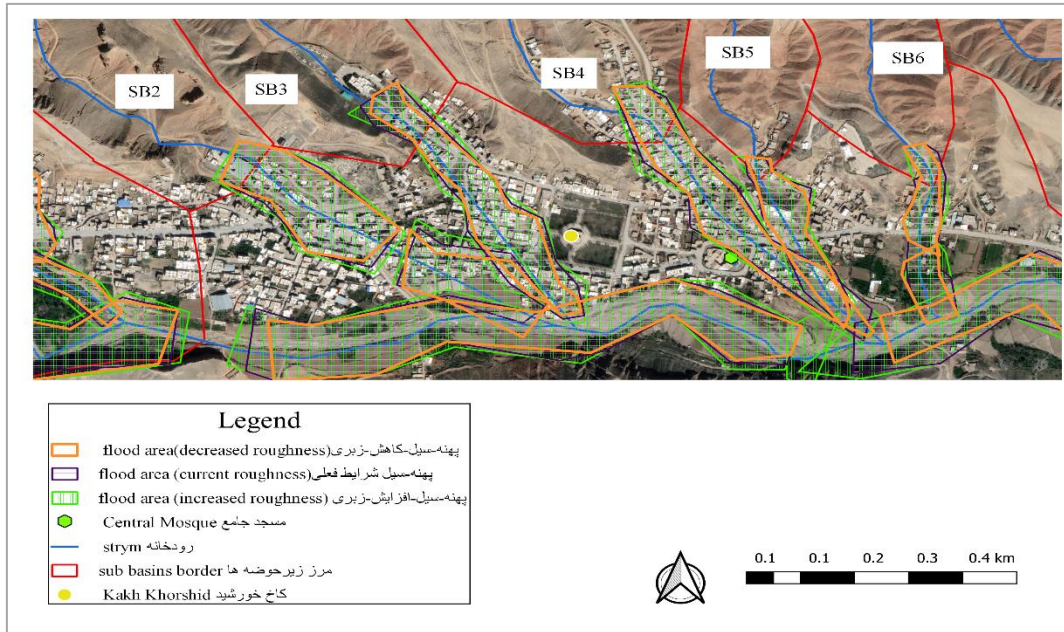
موقعیت جریان Flow position	شماره سناریو Scenarios No.		
	First اول	Second دوم	Third سوم
مجرای کانال رودخانه ژرف (زیرحوضه ۱۱) Main channel of the sub-basin 11	0.077	0.096	0.049
سیلاب‌دشت زیرحوضه ۱۱ Flood plain of the sub-basin 11	0.100	0.149	0.060
سیلاب‌دشت و کانال اصلی زیرحوضه‌های ۱ تا ۱۰ Flood plain and Main channels of sub-basins 1 to 10	0.075	0.095	0.046



شکل ۶- تراز سطح آب تحت ۳ سناریو یادشده در زیرحوضه ۱
Figure 6- Water level under the 3 scenarios in sub basin 1



شکل ۷- تراز سطح آب تحت ۳ سناریو یادشده در زیرحوضه ۸
Figure 7- Water level under the 3 scenarios in sub basin 8



شکل ۸- پهنه‌بندی سیل بر اساس سه سناریو (شرایط فعلی منطقه، افزایش ضریب‌زبری، کاهش ضریب‌زبری) در محدوده تعدادی از زیرحوضه‌ها و رودخانه اصلی

Figure 8- Flood zoning base on three scenarios (roughness reduction, current conditions and surface roughness increase) in some basins and main river

GIS با استفاده از افزونه HEC-GeoRAS به نرم‌افزار HEC-RAS انتقال داده‌شده و پهنه سیل در هر کدام از سناریوهای ذکر شده مشخص شد. شکل ۸ پهنه سیل با دوره بازگشت ۲۰۰ سال در سه سناریو ذکر شده را در فاصله زیرحوضه ۲ تا ۶ (متراکم‌ترین ناحیه شهر) نشان می‌دهد. همچنین مساحت پهنه سیل برای تمامی زیرحوضه‌ها در جدول ۵ ارائه شده‌است.

با توجه به بازدیدهای میدانی و استفاده از تصاویر هوایی، می‌توان دریافت که جمعیت شهر کلات در زیرحوضه‌های ۲ تا ۶ متراکم شده‌است. همچنین بر اساس گزارشات موجود، هر ساله محدوده‌های کاخ خورشید و مسجد جامع شهر و همچنین منازل مسکونی واقع در زیرحوضه‌های ۲ تا ۶ شاهد بیشترین آسیب‌ها و آب‌گرفتگی شدید هستند (گزارش فنی آب منطقه‌ای خراسان رضوی، ۱۳۹۴). بنابر این پس از تکمیل فرایند مدل‌سازی، برای تهیه نقشه پهنه سیلاب، مدل

جدول ۵- مساحت پهنه سیل (m²) در سناریوهای مختلف با دوره بازگشت ۲۰۰ سال و در زیر حوضه‌های مورد بررسی

Table 5- Area of flood zone (m²) for different scenarios in sub basins

شماره زیرحوضه Sub-basin number	ضریب‌زبری کنونی، سناریو ۱ Current roughness coefficient, Sen. 1	افزایش ضریب‌زبری، سناریو ۲ Increased roughness coefficient, Sen. 2	کاهش ضریب‌زبری، سناریو ۳ Decreased roughness coefficient, Sen. 3
SB 1	38877	51818	34617
SB 2	22162	29781	21073
SB 3	77702	90249	71368
SB 4	46340	60133	42359
SB 5	51656	65697	49845
SB 6	22080	27722	21378
SB 7	22914	26726	21000
SB 8	25932	28190	24731
SB 9	21352	25306	20149
SB 10	91268	104825	78651
SB 11	993738	1165734	880193

توسعه شهری بر خطر وقوع سیل، در این مرحله از پژوهش تاثیر عوامل مختلف بر تشدید وقوع سیل در منطقه مورد مطالعه از طریق طرح پرسشنامه‌ای از متخصصین و مسئولین ارگان‌های مختلف بررسی شد. مجموع پاسخگویان به این پرسشنامه‌ها با توجه به روش پژوهش ۱۷ نفر بودند.

تحلیل ویژگی‌های فردی پاسخ‌دهندگان

سطح تحصیلات پاسخ‌گویان در سه رده لیسانس، فوق لیسانس و دکتری طبقه‌بندی شد. بیش‌ترین درصد فراوانی در رده تحصیلات لیسانس برابر ۵۳٪ می‌باشند. در رده تحصیلات فوق لیسانس فراوانی برابر ۴۱٪ و در رده دکتری فراوانی پاسخگویان ۶٪ می‌باشد. توزیع پاسخ‌گویان در ۵ رشته تحصیلی قابل بررسی است. تخصص پاسخ‌گویان در ۵ رشته سازه‌های آبی، مدیریت منابع طبیعی، مدیریت منابع آب، عمران و مهندسی آبخیزداری می‌باشد. بیش‌ترین درصد فراوانی در رشته عمران و ۲۹/۴٪ می‌باشد، بعد از آن مدیریت منابع آب در ردیف دوم با ۲۳/۵ درصد، پس از آن سازه‌های آبی و مدیریت منابع طبیعی هریک با ۱۷/۶٪ در رده سوم و در آخر مهندسی آبخیزداری با ۱۱/۸٪ قرار دارد.

تحلیل ویژگی‌های توصیفی پرسشنامه‌ها

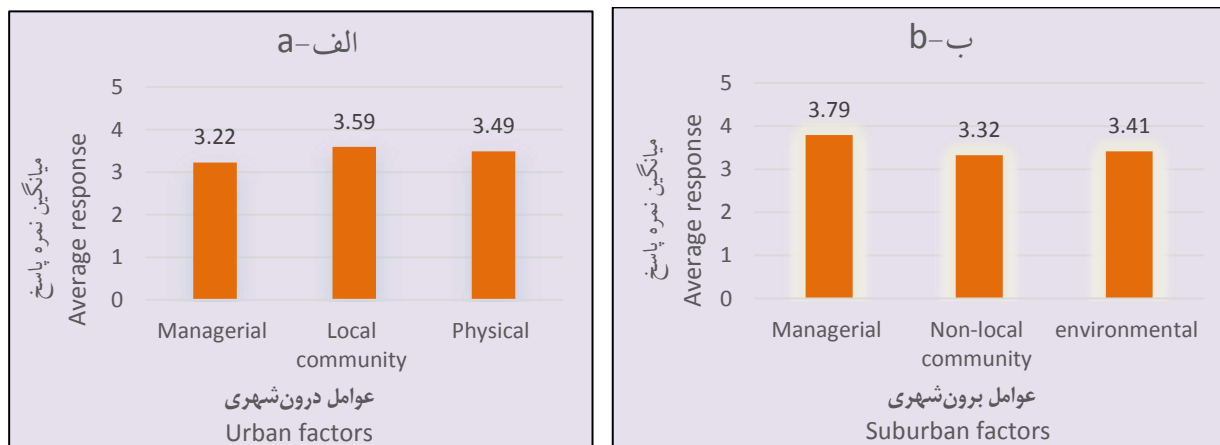
همان‌گونه که بیان شد، پرسشنامه تدوین شده در قالب طیف لیکرت پنج درجه‌ای (با میزان خیلی کم (۱)، کم (۲)، متوسط (۳)، زیاد (۴) و خیلی زیاد (۵)) تهیه شد. که با این شیوه و با استفاده از نرم افزار SPSS می‌توان پاسخ‌های کیفی را به نتایج کمی تبدیل کرد

با توجه به شکل‌های ۶، ۷ و ۸ و همچنین جدول ۵، در صورتی که وضع موجود (سناریوی اول) تغییر یافته و توسعه نامناسب شهری و تجاوز به حریم رودخانه بیش از شرایط موجود اتفاق افتد (سناریوی دوم) ارتفاع و پهنه سیل به شدت افزایش خواهد یافت. در حالی که با آزادسازی حریم و بستر رودخانه و آبراهه‌ها (سناریوی سوم) و در نتیجه کاهش ضریب‌زبری، ارتفاع سیل (شکل‌های ۶ و ۷) و پهنه سیل (جدول ۵ و شکل ۸) کاهش خواهند یافت.

از آنجایی که هر چه دوره بازگشت بارندگی بیشتر باشد، رواناب بیشتری هم تولید می‌شود (علیزاده، ۱۳۸۶)، در این مطالعه نتایج پهنه‌بندی سیل با دوره بازگشت ۲۰۰ سال ارائه شد، تا پهنه سیل و در نتیجه مساحتی که در هنگام وقوع سیل دچار آبگرفتگی می‌شود، برای این دوره بازگشت نشان داده شود. از طرفی در شرایطی که طول دوره آماری کوتاه باشد، برآورد رواناب برای دوره بازگشت بالا، دارای صحت پایینی خواهد بود (Van den Brink, 2005). بنا بر این، با توجه به طول دوره آماری در دسترس (نزدیک به ۳۰ سال) از بارش‌های منطقه مورد مطالعه، مدل‌سازی سیل با دوره‌های بازگشت بیشتر از ۲۰۰ سال از واقعیت دور خواهد بود. از طرف دیگر به نظر می‌رسد که به دلیل تغییر اقلیم فراوانی وقوع سیل‌ها و سایر رویدادهای فرین آب و هوایی بیشتر شود (Van den Brink, 2005). از این رو، مقدار سیل با دوره بازگشت ۲۰۰ سال به عنوان سیلی که خطرات زیادی را به همراه خواهد داشت و با توجه به شرایط تغییر اقلیم، احتمال وقوع آن بیش از گذشته شده‌است، انتخاب شد.

تعیین عوامل موثر بر سیل از دیدگاه هیدرولوژی اجتماعی

همانطور که بیان شد، به منظور بررسی نقش عوامل انسانی و



شکل ۹- (الف) میزان تاثیر عوامل درون شهری بر تشدید وقوع سیل. (ب) میزان تاثیر عوامل برون شهری بر تشدید وقوع سیل درون شهر کلات
Figure 9- (a) The extent of the impact of urban factors on the intensification of floods. (b) The extent of the impact of suburban factors on the intensification of floods inside the city

کاربری اراضی و پوشش سطح زمین (CN)، در مقایسه با تغییرات بارندگی، تأثیر بیشتری بر دبی اوج سیل دارد. به طوری که در یکی از زیرحوضه‌ها، با ۲۰ درصد افزایش عدد منحنی، دبی اوج با دوره بازگشت ۲ سال بیش از ۱۱۰ درصد افزایش می‌یابد. در حالی که افزایش ۲۰ درصدی بارندگی، در دوره بازگشت ۲ سال، دبی اوج را تنها ۳ درصد افزایش می‌دهد. نتایج تحقیقات ما و همکاران (Ma et al., 2019) نیز تأثیر قابل توجه عدد منحنی بر دبی اوج رواناب را تأیید می‌کند. بنابراین، می‌توان نتیجه گرفت که تغییر در مقدار بارش تأثیر چندانی در افزایش دبی اوج سیلاب در این منطقه نخواهد داشت؛ اما تغییر در عدد منحنی (CN) به شدت بر بزرگی سیل (دبی اوج و حجم سیل) تأثیر می‌گذارد. همان‌طور که ذکر شد، کاربری اراضی و پوشش سطح زمین یکی از عوامل موثر بر عدد منحنی است؛ از طرفی نوع پوشش زمین و نوع کاربری به راحتی توسط ساکنان منطقه تغییر می‌کند. در نتیجه، نقش فعالیت‌های انسانی در افزایش خطر سیل می‌تواند بیشتر از تغییرات الگوی بارندگی در منطقه مورد مطالعه قرار گیرد.

با توجه به بررسی‌های انجام شده، زمان تمرکز حوضه و زمان اوج سیلاب (به دلیل وجود سطوح غیرقابل نفوذ و کوچک بودن سطح زیرحوضه‌ها) در حدود ۷۰ درصد از زیرحوضه‌ها کمتر از ۱ ساعت و در برخی از زیرحوضه‌ها حتی کمتر از ۳۰ دقیقه است. این موضوع لزوم برنامه‌ریزی و مدیریت صحیح سیل در این زیرحوضه‌ها و در سطح شهر را پررنگ‌تر می‌کند. در منطقه مورد مطالعه توسعه نامناسب و بی برنامه شهر و کاهش پوشش گیاهی و نفوذپذیری، باعث کوتاه‌تر شدن زمان اوج سیل و افزایش دبی اوج سیل شده است. بنا بر این، پیشنهاد می‌شود در این شهر از روش‌های نوین مدیریت سیلاب شهری از جمله استفاده از آسفالت تراوا و سایر روش‌های توسعه کم‌اثر به منظور افزایش نفوذپذیری و کاهش دبی اوج سیلاب استفاده شود.

نتایج پهنه‌بندی سیل در ۳ سناریو نشان می‌دهد که ضریب ماندگاری تأثیر قابل توجهی در ارتفاع و مساحت سیل دارد. در نتیجه می‌توان با اعمال تدابیر مدیریتی در آینده و همچنین توجه به بازخورد بین شهرنشینی و پهنه سیل، خسارات ناشی از سیل را کاهش داد. در این صورت ساختمان‌ها و سازه‌های انسانی باید تا حد امکان از مسیر رودخانه حذف شوند و ساخت این سازه‌ها در مناطق سیل‌گیر متوقف شود. به منظور افزایش نفوذپذیری، برخی از مناطق سیل‌گیر می‌توانند به فضای سبز (مانند پارک) اختصاص داده شوند. به این ترتیب می‌توان مقداری از سیلاب را به این نواحی هدایت کرد تا در زمین نفوذ نموده و از جاری شدن به سمت پائین دست بازداشته شود.

بر اساس نتایج حاصل از تحقیقات میدانی و تحلیل پرسشنامه‌های تکمیل شده توسط کارشناسان و دست‌اندرکاران مربوطه، اساسی‌ترین عاملی که در درون شهر باعث افزایش خسارات سیل و آبگرفتگی می‌شود، اقدامات مردم محلی و ساکنان شهر کلات است. از جمله

بر اساس نتایج استخراج شده از پرسشنامه‌ها از میان عوامل درون‌شهری موثر بر تشدید وقوع سیل و آبگرفتگی در داخل شهر کلات، مهم‌ترین عامل، عوامل مربوط به جامعه محلی (فعالیت‌های مردم محلی ساکن در شهر) می‌باشد (شکل ۹ الف). همچنین بر اساس نتایج استخراج شده از پرسشنامه‌ها از میان عوامل مرتبط با خارج از حوضه شهری که بر تشدید وقوع سیل و آبگرفتگی در داخل شهر کلات موثر هستند، مهم‌ترین عامل، مربوط به عوامل مرتبط با مدیریت حوضه آبخیز می‌باشد. (شکل ۹ ب).

با توجه به نتایج ارائه شده در شکل ۹ در بخش عوامل درون‌شهری بیش‌ترین فراوانی در حوزه اقدامات مردم محلی با میانگین پاسخ ۳/۵۹ است؛ به این معنی که بر اساس طیف لیکرت، تأثیر اقدامات مردم محلی بر تشدید وقوع سیل بیشتر از "متوسط (۳)" و نزدیک به "زیاد (۴)" می‌باشد. به عبارت دیگر اقدامات ساکنین داخل شهر (شکل ۹-الف) مهم‌ترین عامل افزایش تعدد وقوع سیل و آبگرفتگی در داخل شهر می‌باشد. از این اقدامات می‌توان مواردی مانند ساخت و ساز در مسیر و حریم آبراهه‌ها و انسداد مسیر آبراهه‌ها را نام برد. همچنین در بخش عوامل برون‌شهری بیش‌ترین فراوانی در حوزه مدیریتی با میانگین ۳/۷۹ و کم‌ترین فراوانی در حوزه فعالیت‌های مردم غیر محلی میانگین ۳/۳۲ می‌باشد که بر اساس طیف لیکرت تأثیر عوامل مدیریتی که در بالادست شهر موجب افزایش سیلاب در داخل شهر کلات می‌شود نسبتاً "زیاد (۴)" است. همان‌گونه که بیان شد با توجه به شبکه هیدروگرافی و موقعیت شهر کلات، عوامل دیگری در خارج از حوضه شهری بر وقوع سیل و آبگرفتگی موثر هستند، که در این میان "اقدامات مدیریتی" مهم‌ترین عامل از نظر وقوع سیل در این شهر می‌باشند (شکل ۹-ب). این اقدامات عموماً به مدیریت حوضه آبخیز در بالادست شهر مربوط می‌شود. از جمله اقدامات مدیریتی در حوضه آبخیز می‌توان به جلوگیری از چرای مفرط دام، حفظ و توسعه پوشش گیاهی، تراس‌بندی و کاهش فرسایش و تولید رسوب، اشاره نمود. این موارد مدیریت رشد هوشمند و برنامه‌ریزی شده را در گسترش شهری و توسعه متراکم درون شهری برای کاهش خطر سیل ضروری می‌سازد (Beshir and Song, 2021).

نتیجه‌گیری

همان‌گونه که بیان شد، در شهر کلات در سالیان اخیر مشکلات ناشی از وقوع سیل و آبگرفتگی به شدت افزایش یافته است. در این پژوهش علل وقوع این مشکل از دو دیدگاه فنی و اجتماعی مورد بررسی قرار گرفت. با مدل‌سازی روابط بارش رواناب در زیرحوضه‌های منتهی به شهر و انجام آنالیز حساسیت، نتایج نشان می‌دهد که تغییر

بالادست موجب وقوع سیل در داخل شهر کلات می‌شوند شامل "عدم اجرای فعالیت‌های آبخیزداری" و "عدم ساماندهی آبراهه‌ها در بالادست حوضه" می‌باشند.

در یک جمع‌بندی کلی می‌توان نتیجه گرفت که نقش عوامل انسانی در وقوع و تشدید سیل و همچنین افزایش خسارات سیل در شهر کلات، بسیار بیشتر از عوامل طبیعی (مانند تغییر شدت بارندگی) است. بنابراین برای کنترل سیلاب باید برنامه‌های مدیریتی در منطقه اعمال شود و این برنامه‌ها باید شامل جلوگیری از: کاهش نفوذپذیری، احداث ساختمان و سایر موانع در حریم رودخانه، مسدود نمودن آبراهه‌ها و یا تغییر جهت مسیر آبراهه‌ها باشند. ضمن آنکه باید برنامه ریزی‌هایی برای افزایش پوشش گیاهی در بالادست شهر انجام شود. پیشنهاد می‌شود، پژوهش‌های دیگری در مورد نقش عوامل اقتصادی و اجتماعی در افزایش خطر سیل و میزان خسارات آن انجام گیرد.

مهم‌ترین این فعالیت‌ها می‌توان به "تعرض به حریم و حتی بستر رودخانه"، "ساخت و ساز ساختمان‌های مسکونی در حریم رودخانه"، "افزایش تراکم جمعیت در پهنه سیل‌گیر"، و حتی "احداث ساختمان‌های اداری در حریم رودخانه" اشاره کرد. براساس نتایج حاصل از پرسشنامه‌ها بیش‌ترین خسارت در داخل شهر ناشی از فعالیت مردم محلی است، بنابر این می‌توان با اجرای برنامه‌های آگاه سازی و برنامه‌ریزی برای جلوگیری از گسترش نامناسب شهر در حریم رودخانه، خسارات سیل را به میزان قابل توجهی کاهش داد که نتایج پژوهش هانداپانی و همکاران (Handayani *et al.*, 2020) نیز این موضوع را تایید می‌کند. بر اساس نتایج حاصل از تحلیل پرسشنامه‌ها، مهم‌ترین عواملی که در خارج از شهر و از بالادست باعث تشدید وقوع سیلاب در داخل شهر کلات می‌شوند، مربوط به "عوامل مدیریتی" می‌باشد. مهم‌ترین عوامل مدیریتی تاثیر گذار که از

منابع

1. Aerts, J.C., Botzen, W.W., Emanuel, K., Lin, N., De Moel, H., & Michel-Kerjan, E.O. (2014). Evaluating flood resilience strategies for coastal megacities. *Science* 344: 473-475. <https://doi.org/10.1126/science.1248222>.
2. Alizadeh, A. (2007). *Principles of Applied Hydrology*. The seventh edition. (In Persian)
3. Alfieri, L., Dottori, F., Betts, R., Salamon, P., & Feyen, L. (2018). Multi-model projections of river flood risk in Europe under global warming. *Climate* 6: 6. <https://doi.org/10.3390/cli6010006>.
4. Asadi, R., Karami, M., & Jafari, Gh. (2015). *Investigating the main factors of aggravating flood damage in Iran and its control methods*. 10th International Seminar on River Engineering, Ahvaz.
5. Badri, A., Sadeghloo, T., & Kazemi, N. (2018). *Crisis management (with emphasis on rural areas)*. Noor e Elm Publications, Tehran. (In Persian)
6. Baioni, D. (2011). Human activity and damaging landslides and floods on Madeira Island. *Natural Hazards and Earth System Sciences* 11: 3035-3046. <https://doi.org/10.5194/nhess-11-3035-2011>.
7. Bala, J. (2016). Contribution of SPSS in Social Sciences Research. *International Journal of Advanced Research in Computer Science* 7.
8. Beshir, AA., & Song, J. (2021). Urbanization and its impact on flood hazard: the case of Addis Ababa, Ethiopia. *Natural Hazards* 109(1): 1167-1190. <https://doi.org/10.1007/s11069-021-04873-9>.
9. Blair, P., & Buytaert, W. (2016). Socio-hydrological modelling: a review asking "why, what and how?". *Hydrology and Earth System Sciences* 20: 443-478. <https://doi.org/10.5194/hess-20-443-2016>.
10. Chan, SW., Abid, SK., Sulaiman, N., Nazir, U., & Azam, K.A. (2022). systematic review of the flood vulnerability using geographic information system. *Heliyon* e09075. <https://doi.org/10.1016/j.heliyon.2022.e09075>.
11. Cowan, W.L. (1956). Estimating hydraulic roughness coefficients. *Agricultural Engineering* 37: 473-475.
12. CRED, U. (2015). *The human cost of weather related disasters*. The United Nations Office for Disaster Risk Reduction (UNISDR). <http://www.unisdr.org/10.1017/CBO9781107415324>, 4.
13. Daliran firooz, H., Mokhtari, F., Soltani, S., & Moosavi, A. (2015). Evaluation of flood damage in Ghamsar and Qahroud watersheds using HEC-FIA software. *Journal of Soil and Water Sciences* 19: 63-75. (In Persian with English abstract)
14. Dankers, R., Arnell, N.W., Clark, D.B., Falloon, P.D., Fekete, B.M., Gosling, S.N., & Satoh, Y. (2014). First look at changes in flood hazard in the Inter-Sectoral Impact Model Intercomparison Project ensemble. *Proceedings of the National Academy of Sciences* 111: 3257-3261. <https://doi.org/10.1073/pnas.1302078110>.
15. Diaconu, DC., Costache, R., & Popa, MC. (2021). An overview of flood risk analysis methods. *Water* 13(4): 474. <https://doi.org/10.3390/w13040474>.
16. Di Baldassarre, G., Montanari, A., Lins, H., Koutsoyiannis, D., Brandimarte, L., & Blöschl, G. (2010). Flood fatalities in Africa: from diagnosis to mitigation. *Geophysical Research Letters* 37(22). <https://doi.org/10.1029/2010GL045467>.
17. Di Baldassarre, G., Viglione, A., Carr, G., Kuil, L., Salinas, J., & Blöschl, G. (2013). Socio-hydrology: conceptualising human-flood interactions. *Hydrology and Earth System Sciences* 17: 3295-3303. <https://doi.org/10.1002/2014WR016416>.
18. Dougherty, M., Dymond, R.L., Grizzard Jr, T.J., Godrej, A.N., Zipper, C.E., & Randolph, J. (2007). Quantifying

- long-term hydrologic response in an urbanizing basin. *Journal of Hydrologic Engineering* 12: 33-41. [https://doi.org/10.1061/\(ASCE\)1084-0699\(2007\)12:1\(33\)](https://doi.org/10.1061/(ASCE)1084-0699(2007)12:1(33)).
19. Du, J., Qian, L., Rui, H., Zuo, T., Zheng, D., Xu, Y., & Xu, C.-Y. (2012). Assessing the effects of urbanization on annual runoff and flood events using an integrated hydrological modeling system for Qinhuai River basin, China. *Journal of Hydrology* 464: 127-139. <https://doi.org/10.1016/j.jhydrol.2012.06.057>.
 20. Eftekhari, A., Salajeghe, A., & Hoseini, A. (2011). Evaluation of flood zoning with changes in roughness coefficient Case study: Atrak river. *Journal of Natural Geography* 22: 91-106. (In Persian)
 21. Feng, B., Zhang, Y., & Bourke, R. (2021). Urbanization impacts on flood risks based on urban growth data and coupled flood models. *Natural Hazards* 106(1): 613-627. <http://creativecommons.org/licenses/by/4.0/>.
 22. Ghahraman, B., & Abkhezr, H. (2004). Correction and relations of intensity-duration-frequency of rainfall in Iran. *Soil and Water Sciences* 8(2): 1-14. (In Persian). <http://20.1001.1.24763594.1383.8.2.1.4>.
 23. Ghaljaee, F., Naderifar, M., & Goli, H. (2017). *Snowball, a purposive sampling method in qualitative research*. Strides in Development of Medical Education.
 24. Handayani, W., Chigbu, UE., Rudiarto, I., & Putri, IHS. (2020). Urbanization and Increasing Flood Risk in the Northern Coast of Central Java—Indonesia: An Assessment towards Better Land Use Policy and Flood Management. *Land* 9(10): 343. <https://doi.org/10.3390/land9100343>.
 25. Harrower, M.J. (2010). Geographic Information Systems (GIS) hydrological modeling in archaeology: an example from the origins of irrigation in Southwest Arabia (Yemen). *Journal of Archaeological Science* 37: 1447-1452. <https://doi.org/10.1016/j.jas.2010.01.004>.
 26. Hodgkins, G., Dudley, R., Archfield, S.A., & Renard, B. (2019). Effects of climate, regulation, and urbanization on historical flood trends in the United States. *Journal of Hydrology* 573: 697-709. <https://doi.org/10.1016/j.jhydrol.2019.03.102>.
 27. Jha, A.K., Bloch, R., & Lamond, J. (2012). *Cities and flooding: a guide to integrated urban flood risk management for the 21st century*. World Bank Publications.
 28. Junk, W.J., Bayley, P.B., & Sparks, R.E. (1989). The flood pulse concept in river-floodplain systems. *Canadian Special Publication of Fisheries and Aquatic Sciences* 106: 110-127.
 29. Khorasan Razavi water technical report. (2014). *Report of Khorasan Razavi floods (2014-2015)*.
 30. Ma, M., Liu, C., Zhao, G., Xie, H., Jia, P., Wang, D., & Hong, Y. (2019). Flash flood risk analysis based on machine learning techniques in the Yunnan Province, China. *Remote Sensing* 11: 170. <https://doi.org/10.3390/rs11020170>.
 31. Marcus, W.A., Roberts, K., Harvey, L., & Tackman, G. (1992). An evaluation of methods for estimating Manning's n in small mountain streams. *Mountain Research and Development* 227-239. <https://doi.org/10.2307/3673667>.
 32. Mohamadi, J., Khoda Rahmi, Y., & Golabi, M. (2017). *Estimation of flood hydrograph with HEC-HMS model and simulation of flood zoning using HEC-RAS model Case study: Bakhtiar catchment, Karun river*. The second national hydrological conference of Iran, Shahrekord. (In Persian)
 33. Munawar, HS., Hammad, AW., & Waller, ST. (2022). Remote Sensing Methods for Flood Prediction: A Review. *Sensors* 22(3): 960. <https://doi.org/10.3390/s22030960>.
 34. Nardi, F., Annis, A., & Biscarini, C. (2018). On the impact of urbanization on flood hydrology of small ungauged basins: The case study of the Tiber river tributary network within the city of Rome. *Journal of Flood Risk Management* 11: S594-S603. <https://doi.org/10.1111/jfr3.12186>.
 35. NRCS. (2010). *National Engineering Handbook Hydrology*. USDA Soil Conservation Service
 36. Ogden, F.L., Raj Pradhan, N., Downer, C.W., & Zahner, J.A. (2011). Relative importance of impervious area, drainage density, width function, and subsurface storm drainage on flood runoff from an urbanized catchment. *Water Resources Research* 47(12). <https://doi.org/10.1029/2011WR010550>.
 37. Opperman, J.J., Galloway, G.E., Fargione, J., Mount, J.F., Richter, B.D., & Secchi, S. (2009). Sustainable floodplains through large-scale reconnection to rivers. *Science* 326: 1487-1488. <https://doi.org/10.1126/science.1178256>.
 38. Peel, M.C., & Blöschl, G. (2011). Hydrological modelling in a changing world. *Progress in Physical Geography* 35: 249-261. <https://doi.org/10.1177/0309133311402550>.
 39. Qi, W., Ma, C., Xu, H., Chen, Z., Zhao, K., & Han, H. (2021). A review on applications of urban flood models in flood mitigation strategies. *Natural Hazards* 108(1): 31-62. <https://doi.org/10.1007/s11069-021-04715-8>.
 40. Regional Water Company of Khorasan Razavi. (2015). *Comprehensive Studies of Floods in Kalat*. (In Persian)
 41. Romali, NS., Yusop, Z., & Ismail, AZ. (2018). Application of HEC-RAS and Arc GIS for floodplain mapping in Segamat town, Malaysia. *GEOMATE Journal* 15(47): 7-13. <https://doi.org/10.21660/2018.47.3656>.
 42. Roodaki, S., & Azizian, A. (2020). Uncertainty analysis due to the application of different infiltration estimation methods on the performance of the HEC-HMS rainfall-runoff model using the GLUE algorithm. *Iran Water Resources Research* 16(2): 50-66. (In Persian). <https://www.sid.ir/fa/journal/ViewPaper.aspx?id=562645>.
 43. Saberi tansavan, M., Ganji, Z., Delghand, M., & Dorostkar, V. (2020). Investigation of sensitivity analysis of flood parameters to roughness changes (Case study: Shirvan region). *Irrigation and Water Engineering of Iran* 10: 167-180. (In Persian)
 44. Salami, A.W., Bilewu, S.O., Ibitoye, B.A., & Ayanshola, M.A. (2017). Runoff hydrographs using Snyder and SCS

- synthetic unit hydrograph methods: A case study of selected rivers in south west Nigeria. *Journal of Ecological Engineering* 18(1). <http://10.12911/22998993/66258>.
45. Schwartz, S.S., & Smith, B. (2014). Slowflow fingerprints of urban hydrology. *Journal of Hydrology* 515: 116-128. <https://doi.org/10.1016/j.jhydrol.2014.04.019>.
46. Sivapalan, M., Savenije, H.H., & Blöschl, G. (2012). Socio-hydrology: A new science of people and water. *Hydrol. Process* 26: 1270-1276. <http://doi.org/10.1002/hyp.8426>.
47. Thompson, S., Sivapalan, M., Harman, C., Srinivasan, V., Hipsey, M., Reed, P., & Blöschl, G. (2013). Developing predictive insight into changing water systems: use-inspired hydrologic science for the Anthropocene. *Hydrology and Earth System Sciences* 17: 5013-5039. <https://doi.org/10.5194/hess-17-5013-2013>.
48. Tripathi, G., Pandey, A.C., & Parida, B.R. (2022). Flood Hazard and Risk Zonation in North Bihar Using Satellite-Derived Historical Flood Events and Socio-Economic Data. *Sustainability* 14(3): 1472. <https://doi.org/10.3390/su14031472>.
49. Troy, T., Konar, M., Srinivasan, V., & Thompson, S. (2015). Moving sociohydrology forward: a synthesis across studies. *Hydrology and Earth System Sciences* 19: 3667-3679. <https://doi.org/10.5194/hess-19-3667-2015>.
50. Valeo, C., He, J., & Kasiviswanathan, K.S. (2021). Urbanization under a Changing Climate—Impacts on Hydrology. *Multidisciplinary Digital Publishing Institute* 13(4): 393. <https://doi.org/10.3390/w13040393>.
51. Viglione, A., Di Baldassarre, G., Brandimarte, L., Kuil, L., Carr, G., Salinas, J.L., & Blöschl, G. (2014). Insights from socio-hydrology modelling on dealing with flood risk—roles of collective memory, risk-taking attitude and trust. *Journal of Hydrology* 518: 71-82. <https://doi.org/10.1016/j.jhydrol.2014.01.018>.
52. Winsemius, H.C., Aerts, J.C., Van Beek, L.P., Bierkens, M.F., Bouwman, A., Jongman, B., & Van Vuuren, D.P. (2016). Global drivers of future river flood risk. *Nature Climate Change* 6: 381-385. <https://doi.org/10.1038/nclimate2893>.
53. Van den Brink, H., Können, G., Opsteegh, J., Van Oldenborgh, G., & Burgers, G. (2005). Estimating return periods of extreme events from ECMWF seasonal forecast ensembles. *International Journal of Climatology: A Journal of the Royal Meteorological Society* 25(10): 1345-1354.
54. White, G.F. (1945). *Human adjustment to floods. A Geographical Approach to the Flood Problem in the United States*. In: Chicago, T.U.O., Ed., Research Paper No. 29, The University of Chicago, Chicago.
55. Yang, X., Ren, L., Singh, V., Liu, X., Yuan, F., Jiang, S., & Yong, B. (2012). Impacts of land use and land cover changes on evapotranspiration and runoff at Shalamulun River watershed, China. *Hydrology Research* 43: 23-37. <https://doi.org/10.2166/nh.2011.120>.